

© 1992

О ВЛИЯНИИ ПРОДОЛЬНОЙ РЕЛАКСАЦИИ НА ДИНАМИЧЕСКУЮ ВОСПРИИМЧИВОСТЬ АНТИФЕРРОМАГНЕТИКОВ

А. А. Мухин, А. С. Прохоров

В рамках феноменологических подходов Онсагера и Лагранжа вычислена и проанализирована динамическая восприимчивость антиферромагнетиков $\chi(\omega)$ с учетом продольной релаксации. Показано, что при учете продольной релаксации оба подхода дают одинаковое описание линейной динамики антиферромагнетиков и приводят к эквивалентным выражениям для $\chi(\omega)$. Найлены соотношения между динамическими параметрами кинетических матриц онсагеровских и лагранжевых уравнений движения. Обнаружено, что при учете продольной релаксации указанные соотношения, в отличие от бездиссипативного случая, не зависят от основного состояния антиферромагнетика. Показано, что при описании динамики антиферромагнетиков с $\chi_{||} \neq 0$ выбор между бездиссипативными формализмами Онсагера и Лагранжа существенно зависит от соотношения между частотой АФМР и частотой продольной релаксации. Рассмотрены эффекты проявления продольной релаксации в конкретных антиферромагнетиках: NiF_2 и YFeO_3 .

Феноменологической теории магнитного резонанса и спиновых волн в ферро- и антиферромагнетиках посвящено достаточно большое количество работ [1–10]. Широко используемые уравнения движения Ландау—Лифшица [1] позволяют последовательно описать линейную динамику антиферромагнетиков только в том случае, если векторы намагниченностей подрешеток \mathbf{M}_i при колебаниях не меняют своей длины. Для антиферромагнетиков, у которых в статике и в динамике намагниченности подрешеток изменяют свою длину, нужно использовать либо уравнения Ландау—Лифшица с учетом продольной релаксации [11], либо более общие феноменологические методы, например теорию Онсагера термодинамических флуктуаций [7] или обобщенный метод Лагранжа теории малых колебаний [10].

Вычисление частот антиферромагнитного резонанса (АФМР) методами Лагранжа и Онсагера без учета диссипации проводилось в работах [10, 12, 13]. Однако возникли определенные трудности, связанные с тем, что вычисленные этими методами резонансные частоты отличались друг от друга для некоторых мод колебаний, а именно для тех мод, которые возбуждаются продольным (вдоль вектора антиферромагнетизма L) высокочастотным магнитным полем и не сохраняют длины намагниченностей подрешеток.

В настоящей работе на примере двухподрешеточных антиферромагнетиков показано, что отмеченные выше трудности, возникающие при использовании методов Лагранжа и Онсагера, связаны с пренебрежением продольной релаксацией. В работе изучено влияние продольной релаксации на формирование динамических свойств антиферромагнетиков и проведено сравнение их описания методами Лагранжа и Онсагера с учетом диссипации.

1. Сравнение онсагеровского и лагранжевого подходов с учетом продольной релаксации

Уравнения движения Онсагера для антиферромагнетиков имеют вид [7]

$$\dot{x} = \dot{y} (\partial f / \partial x), \quad (1)$$

где $x = X - X_0 = (m, D)$, $X = (M, L)$, $X_0 = (M_0, L_0)$, $m = M - M_0$, $l = L - L_0$, $M = M_1 - M_2$, $L = M_1 - M_2$, M_1 и M_2 — намагниченности подрешеток; f — свободная энергия малого отклонения от равновесия; $f = \sum \alpha_{ij} x_i x_j$, где α_{ij} — положительно определенная матрица устойчивости. Антисимметричная часть γ^a кинетической матрицы γ описывает незатухающее движение, а симметричная часть γ^s — затухание. Соответствующая функция производства энтропии имеет вид

$$r = \frac{1}{2} \sum \gamma_{ij}^s (\partial f / \partial x_i) (\partial f / \partial x_j).$$

При лагранжевом подходе уравнения движения строятся на основе функции Лагранжа \mathcal{L} и диссипативной функции R , которые в наинизшем приближении по скоростям \dot{x} (что соответствует точности уравнения (1)) равны

$$\mathcal{L} = \frac{1}{2} \sum \rho_{ij}^a x_i \dot{x}_j - f, \quad R = \frac{1}{2} \sum \rho_{ij}^s \dot{x}_i \dot{x}_j. \quad (2)$$

При этом уравнение движения имеет вид

$$\hat{\rho} \dot{x} = \partial f / \partial x, \quad (3)$$

где $\hat{\rho} = \hat{\rho}^a + \hat{\rho}^s$, а $\hat{\rho}^a$, $\hat{\rho}^s$ — антисимметричная и симметричная матрицы, определяющие соответственно кинетическую энергию и диссипативную функцию.

Из (1) и (3) видно, что уравнения движения Онсагера и Лагранжа эквивалентны, если для кинетических матриц $\hat{\rho}$ и $\hat{\gamma}$ существуют обратные матрицы, т. е. соответствующие определители отличны от нуля.

В общем случае это условие выполняется при наличии симметричной части матриц $\hat{\rho}^s$ и γ^s , т. е. при учете диссипации. В этом легко убедиться на примере симметричных магнитных конфигураций в антиферромагнетиках, для которых колебания распадаются на две не взаимодействующие моды АФМР (квазиферромагнитную и квазиантиферромагнитную). При этом соответствующие матрицы $\hat{\rho}$ и $\hat{\gamma}$ распадаются на два блока 3×3 , определители которых всегда равны нулю при отсутствии диссипации, и, следовательно, переход от уравнений (1) к (3) и наоборот становится невозможным. Именно это обстоятельство является причиной возникновения определенных трудностей при сопоставлении результатов анализа динамики антиферромагнетиков методами Лагранжа и Онсагера [10, 12, 13].

Как правило, они возникают при описании антиферромагнетиков в том случае, если в статике и в динамике нарушаются условия равенства подрешеток

$$M_{10}^2 \neq M_{20}^2, \quad dM_1^2/dt \neq dM_2^2/dt$$

или $(L_0 M_0) \neq 0$, $d(LM)/dt \neq 0$. Для антиферромагнетиков, у которых намагниченности подрешеток при низких температурах не меняют своей длины как в статике, так и в динамике, оба метода дают одинаковые формулы для частот АФМР и магнитной восприимчивости $\chi(\omega)$.

Ниже будут рассмотрены антиферромагнетики, для которых проводилось изучение влияния нарушения равенства подрешеток на АФМР: NiF_2 [13, 14], YFeO_3 [15-17]. Сравнение формул для частот АФМР, полученных методами Лагранжа и Онсагера, проводилось для подобных антиферромагнетиков в работах [10, 12-14] без учета релаксации.

Отметим, что нарушение условия равенства магнитных моментов подрешеток в этих антиферромагнетиках оказывает влияние прежде всего на поведение квазиферромагнитной моды (Ф-моды) АФМР, при описании которой методами Лагранжа и Онсагера указанные выше трудности проявляются наиболее сильно.

Покажем на примере колебаний Ф-моды АФМР, что эти трудности могут быть устранены при учете в обоих подходах продольной релаксации.

Рассмотрим сначала упрощенный случай уравнений Онсагера, когда они фактически сводятся к линеаризованным уравнениям движения Ландау—Лифшица с учетом продольной r_{\parallel} и поперечной r_{\perp} релаксации. Записанные для каждой из подрешеток $M_i = M_{j0} + m_i$ ($i = 1, 2$), они имеют вид

$$\dot{m}_i = \gamma [M_{j0} \times F_i] + 2r_{\perp}\gamma^2 [M_{j0} \times (F_i \times M_{j0})] + 2r_{\parallel}\gamma^2 M_{j0} (M_{j0} F_i). \quad (4)$$

В формуле (4) опущен релаксационный член $r_0\gamma^2 F_i$, учет которого сводится в нашем случае к перенормировке констант r_{\perp} и r_{\parallel} .

Записанные с этой же точностью уравнения движения Лагранжа с функцией Лагранжа

$$\mathcal{L} = \sum \frac{1}{2} \rho M_{j0} [(m_i \times \dot{m}_i)] - f$$

и диссипативной функцией

$$R = R_{\perp}\rho^2 \sum [M_{j0} \times \dot{m}_i]^2 + R_{\parallel}\rho^2 \sum (M_{j0}\dot{m}_i)^2$$

имеют вид

$$F_i = \rho [M_{j0} \times \dot{m}_i] + 2R_{\perp}\rho^2 [M_{j0} \times (\dot{m}_i \times M_{j0})] + 2R_{\parallel}\rho^2 M_{j0} (M_{j0}\dot{m}_i). \quad (5)$$

В колебаниях интересующей нас Ф-моды принимает участие три компоненты векторов малых отклонений m , l ($m = M - M_0$, $l = L - L_0$)

$$m_L \equiv (mL_0)/|L_0|, \quad l_M \equiv (lM_0)/|M_0|, \quad m_n \equiv (mn_0),$$

где

$$n_0 \equiv M_0 \times L_0 / \|M_0\|.$$

Введем для этих компонент обозначения

$$x = (x_1, x_2, x_3) = (m_L, l_M, m_n).$$

Перейдем в уравнениях движения (4) и (5) к переменным x , тогда динамические матрицы $\hat{\rho}$ и $\hat{\gamma}$ в соответствующих уравнениях (1) и (3) помимо антисимметричной части

$$\begin{aligned} \rho_{13}^a &= -\rho_{31}^a = \rho M_0, & \rho_{23}^a &= -\rho_{32}^a = -\rho L_0, & \rho_{12}^a &= -\rho_{21}^a = 0, \\ \gamma_{13}^a &= -\gamma_{31}^a = \gamma M_0, & \gamma_{23}^a &= -\gamma_{32}^a = -\gamma L_0, & \gamma_{12}^a &= -\gamma_{21}^a = 0 \end{aligned} \quad (6)$$

будут содержать и симметричную часть, пропорциональную константам релаксации

$$\begin{aligned} \rho_{13}^s &= \rho_{31}^s = \rho_{23}^s = \rho_{32}^s = 0, & \gamma_{13}^s &= \gamma_{31}^s = \gamma_{23}^s = \gamma_{32}^s = 0, \\ \rho_{11}^s &= R_{\perp} (\rho M_0)^2 + R_{\parallel} (\rho L_0)^2, & \rho_{22}^s &= R_{\perp} (\rho L_0)^2 + R_{\parallel} (\rho M_0)^2, \\ \rho_{33}^s &= R_{\perp} [(\rho L_0)^2 + (\rho M_0)^2], & \rho_{12}^s &= (R_{\parallel} - R_{\perp}) (\rho L_0) (\rho M_0) = \rho_{21}^s, \\ \gamma_{11}^s &= r_{\perp} (\gamma M_0)^2 + r_{\parallel} (\gamma L_0)^2, & \gamma_{22}^s &= r_{\perp} (\gamma L_0)^2 + r_{\parallel} (\gamma M_0)^2, \\ \gamma_{33}^s &= r_{\perp} [(\gamma L_0)^2 + (\gamma M_0)^2], & \gamma_{12}^s &= \gamma_{21}^s = (r_{\parallel} - r_{\perp}) (\gamma L_0) (\gamma M_0). \end{aligned} \quad (7)$$

Вычислим соотношения между динамическими параметрами в обоих подходах, которые возникают из условий эквивалентности уравнений (1) и (3). Для

рассматриваемых антиферромагнетиков, у которых $M/L \ll 1$, а добротность линий АФМР много больше единицы (константы поперечной релаксации малы — $R_{\perp} \rho L_0 \ll 1$, или $r_{\perp} L_0 \ll 1$), указанные соотношения имеют достаточно простой вид

$$R_{\parallel} = 1/r_{\parallel}, \quad \rho = \gamma/(\gamma L_0)^2, \quad R_{\perp} = r_{\perp} (\gamma L_0)^2. \quad (8)$$

При использовании более общих уравнений движения, когда в антисимметричной части матриц $\hat{\rho}$ и $\hat{\gamma}$ вместо одного (ρ и γ) учитывают по два допускаемых симметрией обменных динамических параметра ρ_1, ρ_2 и γ_1, γ_2 , а также анизотропные параметры t и τ в наинизшем по M/L приближении (см. [12, 13]), в формулах (6) и (7) для ρ и γ надо произвести формальную замену

$$(\gamma L_0) \rightarrow (\gamma_2 L_0), \quad (\rho L_0) \rightarrow (\rho_2 L_0), \quad (\gamma M_0) \rightarrow \gamma_1 (M_0 + \tau L_0), \quad (\rho M_0) \rightarrow \rho_1 (M_0 + t L_0).$$

Релаксация здесь, как и в предыдущем случае, описывается в простейшем виде с помощью двух констант r_{\parallel}, r_{\perp} (R_{\parallel}, R_{\perp}).

В этом случае соотношения (8) между динамическими параметрами лагранжевого и онсагеровского подходов примут следующий вид:

$$R_{\parallel} = 1/r_{\parallel}, \quad R_{\perp} = r_{\perp} (\gamma_2 L_0)^2, \quad t = \tau, \quad \rho_1 = \gamma_1/(\gamma_2 L_0)^2, \quad \rho_2 = \gamma_2/(\gamma L_0)^2. \quad (9)$$

Видно, что соотношения (9) переходят в (8) при $\rho_1 = \rho_2 = \rho$, $\gamma_1 = \gamma_2 = \gamma$, $t = \tau = 0$. Отметим два важных следствия, вытекающие из (9). Первое из них состоит в том, что большее значение параметра продольной релаксации R_{\parallel} в лагранжевом подходе соответствует малому значению аналогичного параметра r_{\parallel} в онсагеровском подходе и наоборот. Вторым следствием является то, что соотношения между обменными динамическими параметрами в обоих подходах равны друг другу $(\rho_1/\rho_2) = (\gamma_1/\gamma_2)$ и в отличие от бездиссипативного случая [12] не зависят от основного состояния антиферромагнетика.

2. Динамическая магнитная восприимчивость антиферромагнетиков с учетом продольной релаксации

Вычислим диагональные компоненты тензора динамической магнитной проницаемости $\hat{\chi}(\omega)$ при $h \parallel L_0$ ($\chi_L(\omega)$) и при $h \parallel n_0$ ($\chi_n(\omega)$), которые возбуждают наиболее интересную для нас Φ -моду АФМР.

Изотермическая восприимчивость $\hat{\chi}(\omega)$ магнетиков в статическом пределе ($\omega \rightarrow 0$) и в пределе бесконечно вязкой среды ($r_{\parallel} = r_{\perp} \rightarrow \infty$) должна стремиться к величине $\hat{\chi}^0$, представляющей дифференциальную статическую восприимчивость по отношению к бесконечно малому статическому магнитному полю h : $\chi_{ij}^0 = dM_i/dh_j$ [18]. Поэтому обратимся сначала к соответствующим компонентам дифференциальной статической восприимчивости χ_L^0 при $h \parallel L_0$ и χ_n^0 при $h \parallel n_0$.

В рассматриваемых нами антиферромагнетиках магнитное поле, направленное вдоль L_0 (обозначим его h_L), приводит к вращению векторов M и L вокруг оси n_0 . При таком вращении возникает проекция m_L вектора M на L_0 и проекция l_M вектора L на M_0 . Не конкретизируя пока термодинамический потенциал антиферромагнетиков, представим его изменение в поле $h = (0, h_L, h_n)$ в виде

$$f = \alpha_{11} m_L^2/2 + \alpha_{12} m_L l_M + \alpha_{22} l_M^2/2 + \alpha_{33} m_n^2/2 - m_L h_L - m_n h_n, \quad (10)$$

где

$$\alpha_{11} \equiv (\partial^2 f / \partial m_L^2)_0, \quad \alpha_{22} \equiv (\partial^2 f / \partial L_M^2)_0,$$

$$\alpha_{12} \equiv (\partial^2 f / \partial L_M \partial m_L)_0, \quad \alpha_{33} \equiv (\partial^2 f / \partial m_n^2)_0$$

значения вторых производных при $h=0$. Ниже будут приведены конкретные выражения для термодинамического потенциала антиферромагнетиков различной симметрии, которые определяют вид соответствующих коэффициентов α_{ij} . Минимизируя f по L_M , m_L и m_n , получаем выражение для дифференциальной статической восприимчивости вдоль L_0 и n_0 :

$$\chi_L^0 = \alpha_{22} / (\alpha_{11}\alpha_{22} - \alpha_{12}^2), \quad \chi_n^0 = 1/\alpha_{33}. \quad (11)$$

Дифференциальная статическая восприимчивость вдоль n_0 совпадает с «поперечной» восприимчивостью антиферромагнетиков χ_{\perp} .

Выражение для χ_L^0 удобно разбить на два слагаемых

$$\chi_L^0 = \chi_{\parallel} + \chi_{\text{вр}}, \quad (12)$$

где $\chi_{\parallel} = 1/\alpha_{11}$ — «чистая» продольная восприимчивость вдоль L без учета вращения L , а

$$\chi_{\text{вр}} \equiv \alpha_{12}^2 / [\alpha_{11} / (\alpha_{11}\alpha_{22} - \alpha_{12}^2)] \quad (13)$$

— восприимчивость «вращения», связанная с разворотом L и M под действием поля h . Отметим, что обращение в нуль выражения $\alpha_{11}\alpha_{22} - \alpha_{12}^2$ означает потерю устойчивости основного состояния системы относительно вращения в плоскости, проходящей через векторы M_0 , L_0 , и приводит к расходимости $\chi_{\text{вр}}$. Поэтому при соответствующем спин-переориентационном фазовом переходе II рода восприимчивость вращения $\chi_{\text{вр}}$ должна аномально расти.

Соответствующие компоненты динамической восприимчивости, полученные из уравнений Лагранжа и Онсагера, имеют вид

$$\chi_L(\omega) = \{[\chi_{\parallel}(\omega_{\perp}^2 - \omega^2 + i\Delta\omega\omega) + \chi_{\text{вр}}\omega_{\perp}^2]i\omega_{\parallel} - (\chi_{\parallel}/\chi_{\perp})\omega(\omega_{\perp}\sqrt{\chi_{\text{вр}}} + \omega_{\text{св}}\sqrt{\chi_{\parallel}})^2\} / \Delta(\omega), \quad (14)$$

$$\chi_n(\omega) = \chi_{\perp} [\omega_{\perp}^2 i\omega_{\parallel} - \omega(\chi_{\parallel}/\chi_{\perp})(\omega_{\perp}^2 + \omega_{\text{св}}^2)] / \Delta(\omega), \quad (15)$$

где

$$\Delta(\omega) = (\omega_{\perp}^2 - \omega^2 + i\Delta\omega\omega) i\omega_{\parallel} - (\chi_{\parallel}/\chi_{\perp})\omega(\omega_{\perp}^2 + \omega_{\text{св}}^2 - \omega^2 + i\Delta\omega\omega),$$

$$\omega_{\perp}^2 = (\gamma_{23})^2 (\alpha_{11}\alpha_{22} - \alpha_{12}^2) (\alpha_{33}/\alpha_{11}),$$

$$\omega_{\text{св}}^2 = (\alpha_{11}\gamma_{13} - \alpha_{12}\gamma_{23})^2 (\alpha_{33}/\alpha_{11}),$$

$$\omega_{\parallel}(\gamma_2 L_0)^2 (r_1/\chi_{\parallel}), \quad \Delta\omega = r_{\perp}(\gamma_2 L_0)^2 \alpha_{33}.$$

При вычислении высокочастотной восприимчивости учтено, что статические и динамические параметры уравнений движения Онсагера и Лагранжа имеют различный порядок малости относительно малого параметра (M/L) . Для рассматриваемых антиферромагнетиков [13, 14] обменные параметры α_{11} , α_{33} , ρ_1 , ρ_2 , γ_1 , γ_2 имеют нулевой порядок малости, анизотропные параметры t , τ и α_{12} — первый, а α_{22} — второй порядки малости.

Собственные частоты для колебаний рассматриваемой симметрии определяются из условия обращения в нуль знаменателя в формулах (14) и (15), которое дает кубическое уравнение относительно ω . Два корня этого урав-

нения $\omega_{1, 2}$ ($\omega_1 = \omega_2^*$) являются комплексными и соответствуют квазиферромагнитной моде АФМР, а третий корень (ω_3) — чисто мнимый и соответствует продольной релаксационной моде. Взаимодействие указанных мод определяется параметром связи ω_{cb} . При $\omega_{cb} = 0$ эти моды становятся независимыми и

$$\chi_L(\omega) = \chi_{\parallel} \frac{i\omega_{\parallel}(\chi_{\perp}/\chi_{\parallel})}{\omega + i\omega_{\parallel}(\chi_{\perp}/\chi_{\parallel})} + \chi_{\text{вп}} \frac{\omega_{\perp}^2}{\omega_{\perp}^2 - \omega^2 + i\Delta\omega\omega},$$

$$\chi_n(\omega) = \chi_{\perp} \frac{\omega_{\perp}^2}{\omega_{\perp}^2 - \omega^2 + i\Delta\omega\omega}. \quad (16)$$

По аналогии с продольной и поперечной релаксацией в ферромагнетиках будем называть релаксационную моду продольной, а моду АФМР поперечной.

Проанализируем далее формулы (14), (15) в различных предельных случаях. Нетрудно убедиться в том, что формулы (14) и (15) имеют правильные пределы как при $\omega \rightarrow 0$ (статический предел):

$$\chi_L(\omega \rightarrow 0) = \chi_L^0, \quad \chi_n(\omega \rightarrow 0) = \chi_n^0,$$

так и при $\omega \rightarrow \infty$:

$$\chi_L(\omega \rightarrow \infty) = 0, \quad \chi_n(\omega \rightarrow \infty) = 0.$$

Рассмотрим, как преобразуются выражения для динамической восприимчивости (14) и (15) в двух предельных случаях для частоты продольной релаксации. В первом случае ($\omega_{\parallel} \rightarrow \infty$), который соответствует бездиссипативному лагранжеву формализму ($R_{\parallel} = 0$), выражения (14) и (15) переходят соответственно в (17) и (18).

$$\chi_L(\omega) = \chi_{\parallel} + \chi_{\text{вп}} \frac{\omega_{\perp}^2}{\omega_{\perp}^2 - \omega^2 + i\Delta\omega\omega}, \quad (17)$$

$$\chi_n(\omega) = \chi_{\perp} \frac{\omega_{\perp}^2}{\omega_{\perp}^2 - \omega^2 + i\Delta\omega\omega}. \quad (18)$$

Из (17) и (18) видно, что $\chi_L(\omega)$ и $\chi_n(\omega)$ имеют правильный статический предел при $\omega \rightarrow 0$. Однако в формуле (17) имеется независимое от частоты слагаемое χ_{\parallel} , которое приводит к $\chi_L(\omega \rightarrow \infty) \neq 0$. Наличие этого слагаемого можно рассматривать как вклад продольной моды, характерная частота которой лежит много выше ω_{\perp} . В этом случае поперечная мода (мода АФМР) является «мягкой» по отношению к указанному выше спин-переориентационному фазовому переходу II рода, при котором ω_{\perp} обращается в нуль.

Во втором предельном случае ($\omega_{\parallel} \rightarrow 0$), который соответствует бездиссипативному онсагеровскому формализму ($r_{\parallel} = 0$),

$$\chi_L(\omega) = \frac{(\sqrt{\chi_{\text{вп}}} \omega_{\perp} + \sqrt{\chi_{\parallel}} \omega_{cb})^2}{\omega_{\perp}^2 + \omega_{cb}^2 - \omega^2 + i\Delta\omega\omega}, \quad (19)$$

$$\chi_n(\omega) = \chi_{\perp} \frac{\omega_{\perp}^2 + \omega_{cb}^2}{\omega_{\perp}^2 + \omega_{cb}^2 - \omega^2 + i\Delta\omega\omega}. \quad (20)$$

Из (19) видно, что продольная динамическая восприимчивость при бездиссипативном онсагеровском подходе не имеет правильного статического предела ($\chi_L(0) \neq \chi_L^0$). Это связано с тем, что при данном подходе низколежащая

продольная релаксационная мода является фактически замороженной на частотах АФМР. Поэтому бездиссипативный онсагеровский подход справедлив только при $\omega > \omega_{\parallel}$, и в этом случае некорректно требовать правильный статический предел для $\chi_L(\omega)$.

Поперечная динамическая восприимчивость $\chi_n(\omega)$ (20), в отличие от продольной $\chi_L(\omega)$, имеет правильный статический предел, так как при $\omega \rightarrow 0$ и $h_{\perp} L_0$ продольное движение отсутствует.

Кроме этого, как уже было отмечено в работах [13, 14], при бездиссипативном онсагеровском подходе выражение для квадрата частоты АФМР в формулах (19) и (20) состоит из двух слагаемых ω_1^2 и ω_{cb}^2 , а при бездиссипативном лагранжевом подходе второе слагаемое ω_{cb}^2 отсутствует. Казалось бы, имеется противоречие, состоящее в том, что, с одной стороны, в обоих бездиссипативных подходах — лагранжевом и онсагеровском — динамические матрицы уравнений движения $\hat{\rho}^a$ и γ^a имеют одинаковую симметрию и равное число феноменологических параметров [12, 13], а с другой — выражения для резонансных частот и высокочастотной магнитной проницаемости $\chi(\omega)$, полученные в рамках указанных подходов, принципиально отличаются друг от друга.

Только после учета продольной релаксации становится ясным, что причиной указанных выше противоречий между лагранжевым и онсагеровским бездиссипативными подходами является то, что оба этих подхода соответствуют разным предельным переходам по частоте продольной релаксации, а именно бездиссипативный лагранжев формализм соответствует бесконечно большой частоте продольной релаксации, а онсагеровский — бесконечно малой. Игнорирование этого обстоятельства явилось, на наш взгляд, причиной того, что в работах [10, 12–14] получались различные выражения для частот АФМР в онсагеровском и лагранжевом подходах.

Таким образом, при бездиссипативном описании динамики антиферромагнетиков выбор между онсагеровским и лагранжевым подходами принципиально зависит от параметров продольной релаксационной моды: продольной восприимчивости χ_{\parallel} и частоты релаксации ω_{\parallel} . Если $\chi_{\parallel} = 0$, то независимо от величины ω_{\parallel} оба подхода дают одинаковые результаты, совпадающие с результатами, следующими из уравнений Ландау—Лифшица

$$\begin{aligned}\chi_L(\omega) &= \chi_{\text{вр}} \frac{\omega_{\perp}^2}{\omega_{\perp}^2 - \omega^2 + i\Delta\omega\omega}, \\ \chi_n(\omega) &= \chi_{\perp} \frac{\omega_{\perp}^2}{\omega_{\perp}^2 - \omega^2 + i\Delta\omega\omega}.\end{aligned}\quad (21)$$

Для описания антиферромагнетиков, у которых $\chi_{\parallel} \neq 0$, выбор между онсагеровским и лагранжевым подходами зависит от соотношения между ω_{\parallel} и ω_{\perp} . При $\omega_{\parallel} \gg \omega_{\perp}$ следует использовать лагранжев подход, а при $\omega_{\parallel} \ll \omega_{\perp}$ — онсагеровский.

Рассмотрим с этой точки зрения конкретные антиферромагнетики с $\chi_{\parallel} \neq 0$: тетрагональный NiF_2 и орторомбический YFeO_3 .

3. Проявление продольной релаксации в антиферромагнетиках NiF_2 , YFeO_3

Двухподрешеточный тетрагональный антиферромагнетик NiF_2 имеет пространственную кристаллографическую группу симметрии D_{4h}^{14} . Термодинамический потенциал его имеет вид [13, 14]

$$\Phi = \frac{1}{2} BM^2 + \frac{1}{2} D (LM)^2 + \frac{1}{2} D_1 L^2 M^2 + \Phi_A - \\ - d_{\perp}^+ (M_x L_y + M_y L_x) - d_{\parallel} (LM) L_x L_y - MH,$$

где

$$\Phi_A = \frac{1}{2} a_1 (L_x^2 + L_y^2) + \frac{1}{2} a_{12} L_x^2 L_y^2 + \frac{1}{4} a_{11} (L_x^4 + L_y^4) + \frac{1}{4} a_{33} L_z^4,$$

ось z направлена вдоль оси C_4 . Рассмотрим случай, когда внешнее поле H направлено вдоль оси y , $M_0 \parallel H$ и $L_0 \parallel x$, тогда компоненты матрицы устойчивости $\hat{\alpha}$ (см. (10)) равны

$$\alpha_{11} = (\chi_{\perp}/\chi_{\parallel}) (2H_E/L_0), \quad \alpha_{22} = 2H_A H_E + \\ + (\chi_{\perp}/\chi_{\parallel}) (H + H_{d_{\perp}}^+) [(H + H_{d_{\perp}}^+) - (\chi_{\parallel}/\chi_{\perp}) (H + 4H_{d_{\parallel}} - 4H_{d_{\perp}}^+)], \\ \alpha_{12} = (\chi_{\perp}/\chi_{\parallel}) [(H + H_{d_{\perp}}^+) - (\chi_{\parallel}/\chi_{\perp}) (H + 2H_{d_{\parallel}})]/L_0,$$

где

$$\chi_{\perp}^{-1} = B, \quad \chi_{\parallel}^{-1} = B + (D + D_1) L_0^2, \quad 2H_E = BL_0, \\ 2H_A = L_0/\chi_{\perp}, \quad H_{d_{\perp}}^+ = d_{\perp}^+ L_0, \quad H_{d_{\parallel}} = (d_{\perp}^+ + d_{\parallel} L_0^2) L_0.$$

Приведем выражения для частот ω_{\perp}^2 и $\omega_{\text{св}}^2$, восприимчивости вращения $\chi_{\text{вр}}$, которые определяют величины компонент тензора динамической магнитной восприимчивости (см. (10) и (15))

$$\left(\frac{\omega_{\perp}}{\gamma}\right)^2 = (H + 4H_{d_{\perp}}^+) (H + H_{d_{\perp}}^+) - (\chi_{\parallel}/\chi_{\perp}) (H + 2H_{d_{\parallel}})^2 + 2H_A H_E, \\ \left(\frac{\omega_{\text{св}}}{\gamma}\right)^2 = \left(\frac{\chi_{\perp}}{\chi_{\parallel}}\right) \left[\left(\frac{\chi_{\parallel}}{\chi_{\perp}}\right) (H + 2H_{d_{\parallel}}) + \left(\frac{\Delta\gamma}{\gamma}\right) (H + H_{d_{\perp}}^+) + 2H_{\tau} \left(1 + \frac{\Delta\gamma}{\gamma}\right) \right]^2, \\ \chi_{\text{вр}} = \chi_{\perp} [(H + H_{d_{\perp}}^+) - (\chi_{\parallel}/\chi_{\perp}) (H + H_{d_{\parallel}})]^2 / (\omega_{\perp}/\gamma)^2, \quad (22)$$

где

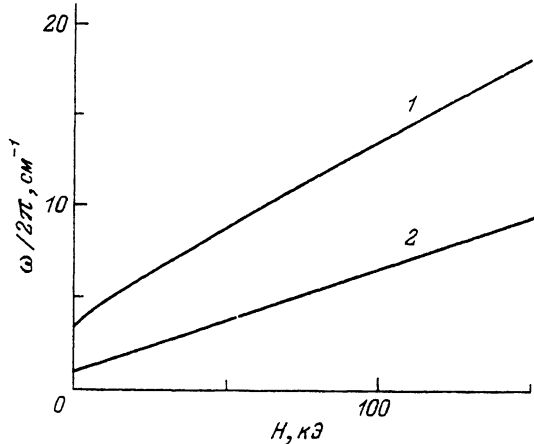
$$\gamma \equiv \gamma_2, \quad \Delta\gamma \equiv \gamma_1 - \gamma_2, \quad 2H_{\tau} \equiv \tau H_E, \quad H_A = a_{12} L_0^4.$$

Из (22) видно, что величина $\omega_{\text{св}}$ определяется параметрами, которые описывают возникновение «продольного» (т. е. вдоль L_0) магнитного момента в статике (χ_{\parallel} , $H_{d_{\parallel}}$) и в динамике ($\Delta\gamma$, τ). Действительно, в работах [13, 18] было показано, что наличие χ_{\parallel} и $H_{d_{\parallel}}$ приводит в статике к нарушению условия равенства магнитных подрешеток $|M_{10}| \neq |M_{20}|$ ($M_0 L_0 \neq 0$) [18], а отличие от нуля $\Delta\gamma$ и H_{τ} приводит к такому же условию в динамике: $d(M1)^2/dt \neq d(M2)^2/dt$ ($d(LM)/dt \neq 0$) [14].

Как было показано в работах [13, 14], результаты статических и динамических измерений в NiF_2 количественно описываются в рамках бездиссипативного подхода не лагранжевым, а онсагеровским формализмом. Так как бездиссипативный онсагеровский подход является предельным случаем, когда частота продольной релаксации ω_{\parallel} стремится к нулю (см. (19)), то отсюда можно сделать вывод, что частота продольной релаксационной моды ω_{\parallel} лежит много ниже частоты АФМР ω_0^2 , которая в этом случае равна $\omega_0^2 = \omega_{\perp}^2 + \omega_{\text{св}}^2$ (см. (19), (20)).

На рисунке для NiF_2 приведены вычисленные в работе [13] зависимости ω_{\perp} и $\omega_{\text{св}}$ от магнитного поля $H \parallel [100]$ при $T = 4.2$ К. Видно, что $\omega_{\text{св}}$ дает существенный вклад

Рассчитанные по формулам (22) зависимости частот ω_{\perp} (1) и $\omega_{\text{св}}$ (2) от магнитного поля $H \parallel [100]$ в NiF_2 при $T = 4.2$ К (значения параметров NiF_2 взяты из работы [14]).



в частоту АФМР ω_0 , например, при $H = 65$ кЭ $\omega_{\text{св}}/\omega_{\perp} \approx 0.5$. Это связано с тем, что параметры $H_{d_{\parallel}}, \chi_{\parallel}, \Delta\gamma$ и H_{τ} , определяющие значение $\omega_{\text{св}}$ (см. (22)), имеют в NiF_2 достаточно большую величину ($\chi_{\parallel}/\chi_{\perp} = 0.2$, $H_{d_{\parallel}} = 58.2$ кЭ, $\Delta\gamma/\gamma = -0.45$, $H_{\tau} = 14$ кЭ при $T = 4.2$ К [14, 13]). Причиной этого является наличие незамороженного орбитального момента у иона Ni^{2+} .

Обратимся теперь к антиферромагнетикам, у которых магнитные ионы находятся в S -состоянии. В качестве примера рассмотрим орторомбический антиферромагнетик — ортоферрит иттрия YFeO_3 (пространственная группа симметрии парамагнитной фазы — D_{2h}^{16}). В двухподрешеточном приближении термодинамический потенциал для YFeO_3 можно записать в виде [16, 19, 20]

$$\Phi = \frac{1}{2} B M^2 + \frac{1}{2} D (L M)^2 + \frac{1}{2} D_1 L^2 M^2 + \Phi_A - d_{\perp}^{-} (M_x L_x - M_z L_z) - d_{\perp}^{+} (M_z L_x + M_x L_z) - d_{\parallel} (L M) L_x L_z - M H,$$

где

$$\Phi_A = \frac{1}{2} a_1 L_x^2 + \frac{1}{2} a_2 L_y^2 + \frac{1}{2} a_3 L_z^2 + \frac{1}{4} a_{11} L_x^4 + \frac{1}{4} a_{22} L_y^4 + \frac{1}{4} a_{33} L_z^4 + \frac{1}{2} a_{12} L_x^2 L_y^2 + \frac{1}{2} a_{13} L_x^2 L_z^2 + \frac{1}{2} a_{23} L_y^2 L_z^2.$$

В случае, когда внешнее поле H лежит вдоль оси x и его величина превышает пороговое значение $H_c \approx 75$ кЭ, то стабилизируется состояние с $M \parallel x$, $L \parallel z$ и выражения для ω_{\perp} и $\omega_{\text{св}}$ имеют вид

$$\left(\frac{\omega_{\perp}}{\gamma}\right)^2 = (H + 4H_{d_{\perp}}^{+}) (H + H_{d_{\perp}}^{-} + H_{d_{\perp}}^{+}) - (\chi_{\parallel}/\chi_{\perp}) (H + 2H_{d_{\parallel}})^2 + 2H_A H_E,$$

$$\left(\frac{\omega_{\text{св}}}{\gamma}\right)^2 = \left(\frac{\chi_{\perp}}{\chi_{\parallel}}\right) \left[(H + 2H_{d_{\parallel}}) (\chi_{\parallel}/\chi_{\perp}) + (\Delta\gamma/\gamma) (H + H_{d_{\perp}}^{+} + H_{d_{\perp}}^{-}) + 2H_{\tau} \left(1 + \frac{\Delta\gamma}{\gamma}\right) \right]^2,$$

где

$$H_{d_{\perp}}^{-} = -d_{\perp}^{-} L_0, \quad H_A = [(a_1 - a_3) + (a_{13} - a_{33}) L_0^2] L_0, \quad (H_A < 0).$$

Вследствие того что в ионах Fe^{3+} орбитальный момент $L \approx 0$, взаимодействие Дзялошинского в YFeO_3 определяется в основном антисимметричным обменом ($H_{d_{\perp}}^{+}, H_{d_{\parallel}} \ll H_{d_{\perp}}^{-}$), а при описании АФМР [16] можно положить $\Delta\gamma \approx 0$, $H_{\tau} \approx 0$. В этом случае формулы (23) упрощаются:

$$\left(\frac{\omega_{\perp}}{\gamma}\right)^2 = H (H + H_{d_{\perp}}^{-}) - (\chi_{\parallel}/\chi_{\perp}) H^2 + 2H_A H_E,$$

$$\left(\frac{\omega}{\gamma}\right)^2 = (\chi_{\parallel}/\chi_{\perp}) H^2.$$

В работе [15] было обнаружено, что в точке фазового перехода, индуцированного магнитным полем $H = H_c$, при котором $\omega_{\perp} = 0$, частота АФМР остается конечной $\omega_0 = \omega_{св} = 107$ ГГц при $T \approx 300$ К. Это объяснялось наличием в $YFeO_3$ низколежащей продольной релаксационной моды, которая является мягкой для данного фазового перехода [16, 17].

Таким образом, рассмотренные примеры свидетельствуют о том, что частота продольной релаксационной моды в антиферромагнетиках, по-видимому, лежит ниже частот АФМР, исключая, возможно, некоторую область вблизи точки Нееля. Это приводит к тому, что на частотах АФМР продольная релаксационная мода является замороженной. В результате возникает дополнительный вклад $\omega_{св}^2$ в частоту АФМР ω_0^2 . Этим, в частности, объясняется наличие щелей в спектрах спиновых волн антиферромагнетиков в точках фазовых переходов второго рода.

При низких температурах ($T \ll T_N$) этот эффект должен проявляться только в антиферромагнетиках с незамороженным орбитальным моментом, а при более высоких температурах — в антиферромагнетиках как с замороженным, так и с незамороженным орбитальным моментом.

Таким образом, для антиферромагнетиков с низколежащей продольной релаксационной модой бездиссипативный ($\omega_{\perp} = 0$) онсагеровский подход позволяет в принципе адекватно описывать динамику системы на частотах АФМР. При этом, однако, нужно иметь в виду, что вклад моды АФМР в статическую магнитную восприимчивость будет отличаться от статического значения при $h \parallel L_0$, так как вклад продольной релаксационной моды при бездиссипативном подходе не учитывается.

4. Заключение

В работе показано, что в антиферромагнетиках с $\chi_1 \neq 0$ принципиальным является учет продольной релаксации. Лагранжев и онсагеровский формализмы, в которых учтена продольная релаксация, являются эквивалентными в том смысле, что они дают одинаковые выражения для динамической восприимчивости, а между параметрами динамических матриц $\hat{\rho}$ и $\hat{\gamma}$ существует взаимно однозначное соответствие, не зависящее от основного состояния антиферромагнетика. Показано, что бездиссипативный онсагеровский и лагранжев формализмы соответствуют различным предельным случаям по частоте продольной релаксации ω_1 : $\omega_1 \rightarrow \infty$ в бездиссипативном лагранжевом подходе и $\omega_1 \rightarrow 0$ в бездиссипативном онсагеровском подходе.

Как показывают экспериментальные данные по NiF_2 и $YFeO_3$, в этих антиферромагнетиках частота продольной релаксации лежит много ниже частоты АФМР. Поэтому динамика NiF_2 , $YFeO_3$ и, по-видимому, других подобных антиферромагнетиков может быть адекватно описана в рамках бездиссипативного онсагеровского подхода. Важно лишь помнить, что такое описание будет справедливым лишь в области частот АФМР и не может быть использовано на более низких частотах.

Список литературы

- [1] Ландау Л. Д. Собрание трудов. М.: Наука, 1969. С. 127.
- [2] Kittel C. // Phys. Rev. 1952. V. 82. R. 565, Ketter F., Kittel C. // Phys. Rev., 1952. V. 85. P. 329.
- [3] Foner S. Magnetizm / Ed. by H. Shul and G. Rado. New York; London, 1963. V. 1. P. 390.
- [4] Боровик-Романов А. С. Антиферромагнетизм. Физматгиз, 1962.
- [5] Туров Е. А. Физические свойства магнитоупорядоченных кристаллов. Физматгиз, 1963.
- [6] Ахиезер А. И., Барьяхтар В. Г., Пелетминский С. В. Спиновые волны. М.: Наука, 1967.
- [7] Гуфан Ю. М. // ЖЭТФ. 1971. Т. 60. С. 1537.

- [8] Halperin B. J., Hohenberg P. C. // *Phys. Rev.* (3). 1971. V. 3. P. 961.
- [9] Андреев А. Ф., Марченко В. И. // *ЖЭТФ*. 1976. Т. 70. N 4.
- [10] Дзялошинский И. Е., Кухаренко Б. Г. // *ЖЭТФ*. 1976. Т. 70. № 6. С. 2360.
- [11] Барьяхтар В. Г. // *ЖЭТФ*. 1988. Т. 94. № 4. С. 196; *ЖЭТФ*. 1984. Т. 87. № 4 (10). С. 1501.
- [12] Гуфан Ю. М., Прохоров А. С., Рудашевский Е. Г. // *Докл. АН СССР*. 1978. Т. 238. С. 57.
- [13] Гуфан Ю. М., Прохоров А. С., Рудашевский Е. Г. *Препр. ФИАН*. 1979. № 61.
- [14] Гуфан Ю. М., Прохоров А. С., Рудашевский Е. Г. // *ЖЭТФ*. 1979. Т. 77. № 6(12). С. 2369.
- [15] Балбашов А. М., Березин А. Г., Гуфан Ю. М., Колядко Г. С., Марчуков П. Ю., Николаев И. В., Рудашевский Е. Г. // *Письма в ЖЭТФ*. 1985. Т. 41. В. 9. С. 391.
- [16] Балбашов А. М., Березин А. Г., Гуфан Ю. М., Колядко Г. С., Марчуков П. Ю., Рудашевский Е. Г. // *ЖЭТФ*. 1987. Т. 93. № 1(7). С. 302.
- [17] Балбашов А. М., Гуфан Ю. М., Марчуков П. Ю., Рудашевский Е. Г. // *ЖЭТФ*. 1988. Т. 94. В. 4. С. 305.
- [18] Калашников В. П., Ауслендер М. И. // *ФММ*. 1977. Т. 44. № 1. С. 711.
- [19] Бажан А. Н. // *ЖЭТФ*. 1973. Т. 65. № 6(12). С. 2479.
- [20] Белов К. П., Звездин А. К., Кадомцева А. М., Левитин Р. З. *Ориентационные переходы в редкоземельных магнетиках*. М.: Наука, 1979.

Институт общей физики РАН
Москва

Поступило в Редакцию
18 марта 1992 г.